

Difração de Fresnel

Ana Luiza Ferrari, Lucas Antunes Reis, Yuri Peres Asnis

Instituto de Física de São Carlos - USP

14 de outubro de 2019

- Representação de funções definidas em um intervalo infinito e sem nenhuma periodicidade particular.
- Comumente representada como funções que variam no tempo.
- Única imposição necessária

$$\int_{-\infty}^{\infty} |f(t)| dt \quad (1)$$

seja finita

- Dado que $f(x) = \sum C_n e^{-ik_n x}$ e que $C_n = \frac{1}{2L} \int_{-L}^L f(x) e^{ik_n x} dx$ então conseguimos escrever $f(x)$ como

$$f(x) = \frac{1}{\sqrt{2\pi}} \sum_{n=-\infty}^{\infty} \left[\frac{1}{\sqrt{2\pi}} \int_{-L}^L f(\xi) e^{ik_n \xi} d\xi \right] e^{-ik_n x} \frac{\pi}{L} \quad (2)$$

$$f(x) = \frac{1}{\sqrt{2\pi}} \sum_{k_n} \left[\frac{1}{\sqrt{2\pi}} \int_{-L}^L f(\xi) e^{ik_n \xi} d\xi \right] e^{-ik_n x} \Delta k_n \quad (3)$$

$$f(x) = \frac{1}{\sqrt{2\pi}} \lim_{L \rightarrow \infty} \sum_{k_n} \left[\frac{1}{\sqrt{2\pi}} \int_{-L}^L f(\xi) e^{ik_n \xi} d\xi \right] e^{-ik_n x} \Delta k_n \quad (4)$$

$$f(x) = \frac{1}{\sqrt{2\pi}} \int_{-\infty}^{+\infty} \left[\frac{1}{\sqrt{2\pi}} \int_{-\infty}^{+\infty} f(\xi) e^{ik_n \xi} d\xi \right] e^{-ikx} dk \quad (5)$$

- Dada então uma função $f(x)$ absolutamente integrável,

$$\hat{f}(k) = \frac{1}{\sqrt{2\pi}} \int_{-\infty}^{+\infty} f(x) e^{ikx} dx \quad (6)$$

é chamada de função transformada da função $f(x)$.

- Notação: $\hat{f}(k) = \mathcal{F}\{f(x)\}(k)$

- Propriedades:

- $\mathcal{F}\{\alpha f(x) + \beta g(x)\}(k) = \alpha \hat{f}(k) + \beta \hat{g}(k)$
- $\mathcal{F}\{f'(x)\}(k) = -ik \mathcal{F}\{f(x)\}(k)$

- Definição: A convolução de duas funções $f(t)$ e $g(t)$ é definida por:

$$(f \circledast g)(t) = \frac{1}{2\pi} \int_{-\infty}^{+\infty} f(\xi) g(t - \xi) d\xi \quad (7)$$

- Propriedades:

- comutativa: $(f \circledast g) = (g \circledast f)$

- Seja $(f \circledast g) = h(t)$ então

$$\mathcal{F}\{h(t)\}(w) = \mathcal{F}\{g(t)\}(w) \mathcal{F}\{f(t)\}(w) \quad (8)$$

$$\hat{h}(w) = \hat{f}(w) \hat{g}(w) \quad (9)$$

- Uma onda eletromagnética obedece a equação de onda

$$\frac{1}{c^2} \frac{\partial^2 \Psi}{\partial t^2} - \nabla^2 \Psi = 0.$$

- Podemos escrever esta onda como a composição de um envelope estacionário com uma onda plana,

$$\Psi(x, y, z, t) = \frac{1}{2} \left[\Psi_e(x, y, z) e^{i(\omega t - kz)} + c.c. \right].$$

- Assumindo que o envelope varia pouco com z , obtemos a equação

$$\boxed{2ik \frac{\partial \Psi_e}{\partial z} = \frac{\partial^2 \Psi_e}{\partial x^2} + \frac{\partial^2 \Psi_e}{\partial y^2}}.$$

- Aplicando a transformada de Fourier (xy) na equação anterior, obtemos

$$\hat{\Psi}_{ez} = \frac{i}{2k}(\omega_x^2 + \omega_y^2)\hat{\Psi}_e.$$

- Esta EDO é facilmente integrada e resulta em

$$\hat{\Psi}_e(\omega_x, \omega_y, z) = \hat{\Psi}_{e0}e^{(i/2k)(\omega_x^2 + \omega_y^2)z};$$

com

$$\hat{\Psi}_{e0} = F_{xy}\{\Psi_e\}_{z=0}.$$

Difração de Fresnel: derivação simples

- Aplicando a transformada inversa, e rearranjando a integral, obtemos o resultado final para a função envelope.

$$\Psi_e(x, y, z) = \frac{ik}{2\pi z} \int_{-\infty}^{\infty} \int_{-\infty}^{\infty} \Psi_{e0}(x', y') e^{(-ik/2z)((x-x')^2 + (y-y')^2)} dx' dy',$$

onde $\Psi_{e0} = \Psi_e|_{z=0}$.

- Por fim, esta equação pode ser reescrita para campos eletromagnéticos como

$$E(x, y, z) = \frac{ie^{-ikz}}{\lambda z} \int_{-\infty}^{\infty} \int_{-\infty}^{\infty} E_0(x', y', 0) e^{(-ik/2z)((x-x')^2 + (y-y')^2)} dx' dy'$$

e descreve a difração de Fresnel para uma amplitude inicial complexa arbitrária.

O ponto de Arago

- Fresnel apresentou sua formulação matemática para a propagação da luz na Academia de Ciência.
- Na ocasião, Poisson argumentou que uma tela circular opaca teria no centro de sua **sombra** um ponto de **intensidade máxima**.
- Este experimento foi feito por Arago.

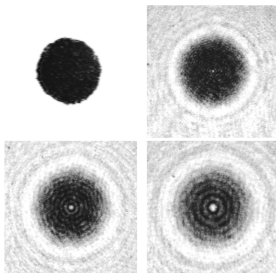


Figura: Reprodução da experiência de Arago.

Princípio de Huygens

- Proposta por Christian Huygens no final do século XVII.
- Cada ponto de uma frente de onda se comporta como uma nova fonte de ondas elementares.

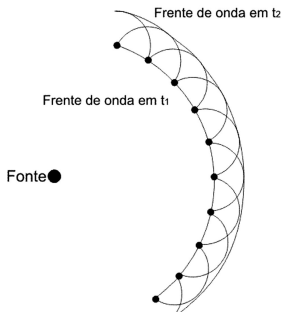
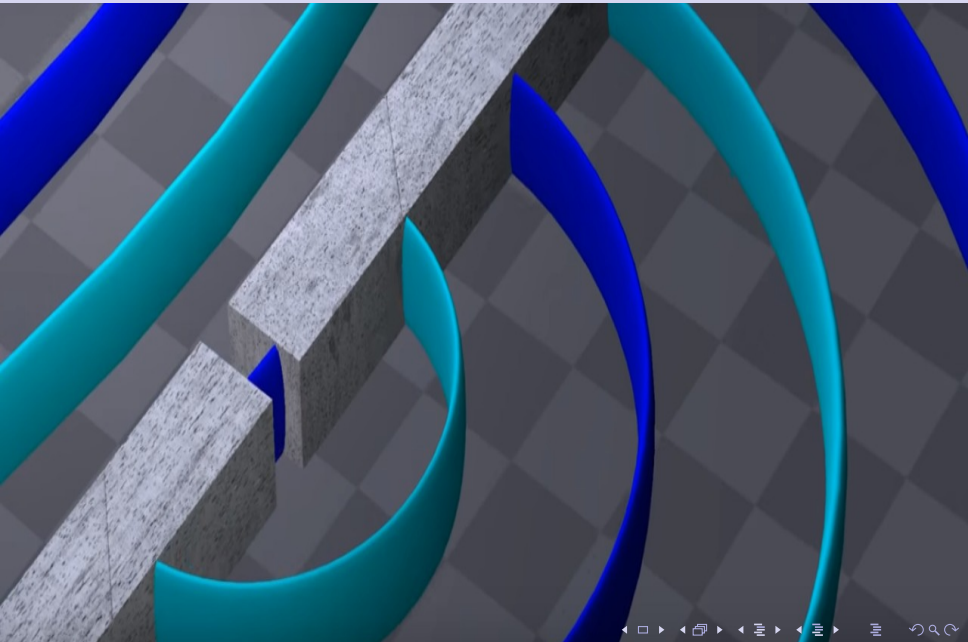
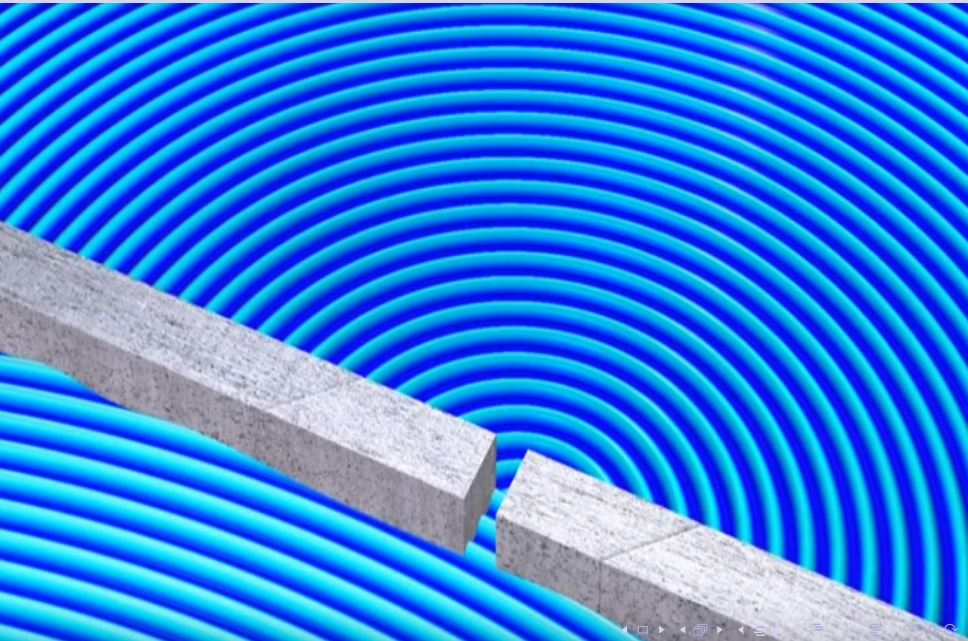


Figura: Reprodução da frente de onda através do Princípio de Huygens.

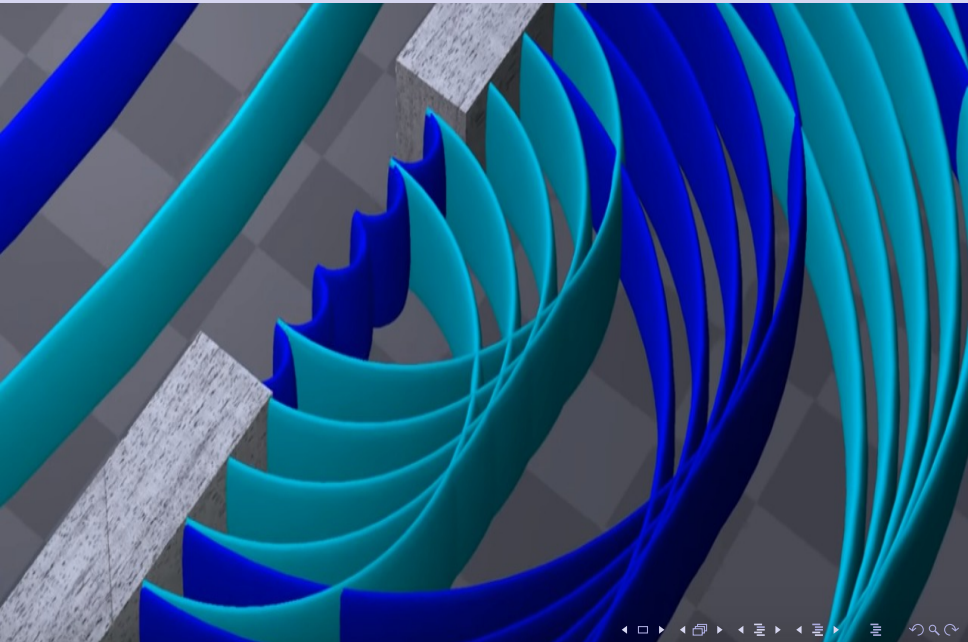
Orifício do tamanho do comprimento de onda



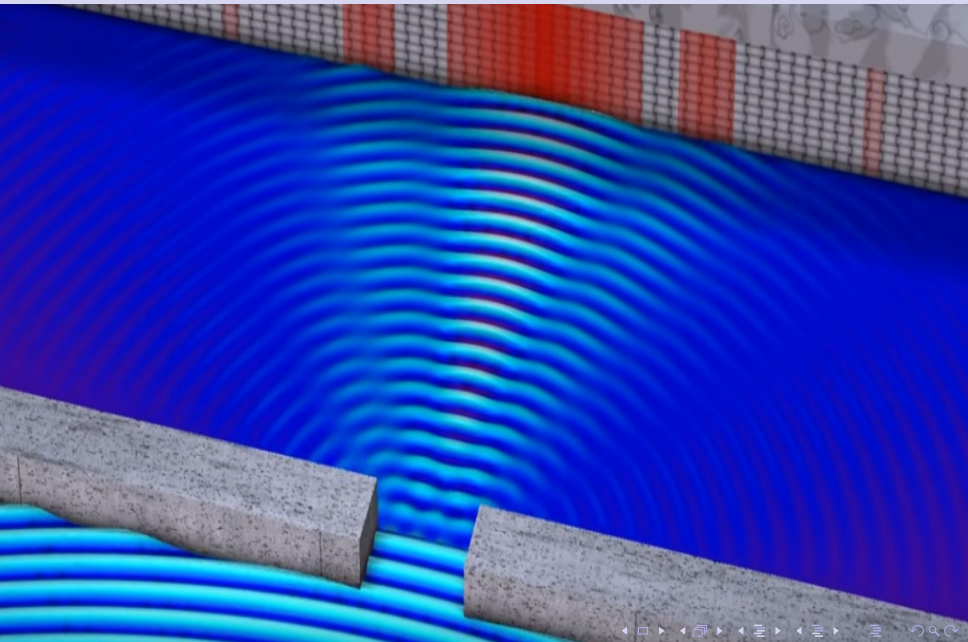
Apenas uma nova fonte de onda passa



Orifício maior que o comprimento de onda



Cinco novas fontes de onda passam



- Faremos uso da **Análise de Fourier** para calcular o padrão de difração de Fresnel.
- Decompondo uma onda incidente em uma soma de ondas planas, temos que para cada uma delas :

$$U = U_0 e^{i(q_x x + q_y y + q_z z)}$$

sendo (q_x, q_y, q_z) o vetor de onda e U_0 o valor do campo na origem.

- Em uma tela perpendicular à direção da luz recebida, o campo em um ponto z_0 é dado por:

$$U = U_0 e^{i q_z z_0} = U_0 e^{i(q^2 - q_x^2 - q_y^2)^{1/2} z_0}$$

- Podemos definir então o fator de fase como:

$$\phi \equiv e^{iq_z z_0}$$

- Abordando a origem do obstáculo em $z = 0$ e situado no plano xy , temos que:

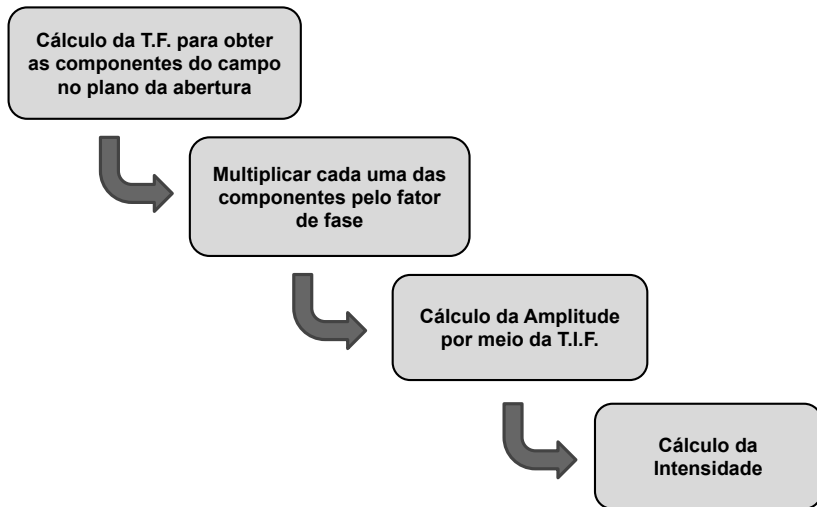
$$U(q_x, q_y) = \iint_{abertura} e^{i(q_x x + q_y y)} dx dy$$

A integral acima possui a mesma estrutura da definição da Transformada de Fourier

- Discrete *Fast Fourier Transform*
- Para calcularmos a Transformada faremos uso do método `numpy.fft.fft(numpy.ndarray())`

```
# f = exp((2*pi*n/L) * i)
>>> np.fft.fft(np.exp(2j * np.pi * np.arange(10) / 10))
array([-3.44509285e-16+1.22464680e-16j, 8.00000000e+00-8.52069395e-16j,
 3.44509285e-16+1.22464680e-16j, 0.00000000e+00+1.22464680e-16j,
 9.95799250e-17+1.22464680e-16j, -8.88178420e-16+1.17281316e-16j,
-9.95799250e-17+1.22464680e-16j, 0.00000000e+00+1.22464680e-16j])
```

- De modo análogo, a inversa pode ser obtida pelo método `numpy.fft.ifft(numpy.ndarray())`



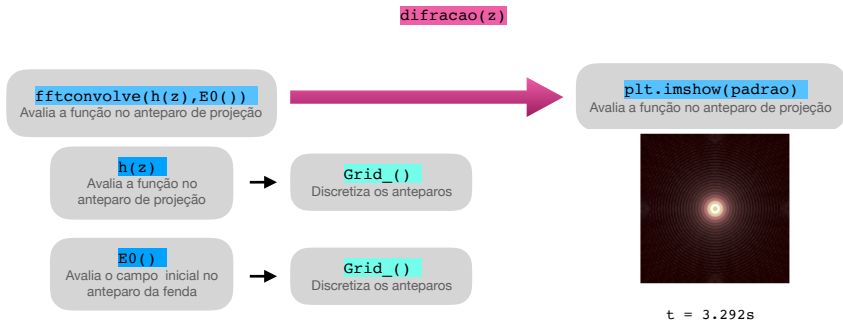
Método 2

- O segundo método é baseado na formulação de convolução da difração de Fresnel, isso é

$$E(x, y, z) = E(x, y, 0) * h(x, y, z),$$

onde

$$h(x, y, z) = \frac{e^{ikz}}{i\lambda z} e^{(ik/2z)(x^2+y^2)}.$$



Número de Fresnel

- O número de Fresnel é definido por

$$F = \frac{r^2}{\lambda L}.$$

- Dois regimes de difração são descritos pela aproximação de Fresnel:

- 1 $F \ll 1$: O aparato está longe e a aproximação de Fraunhofer também pode ser empregada.
- 2 $F \sim 1$: O aparato está perto e apenas a aproximação de Fresnel traz uma boa descrição.

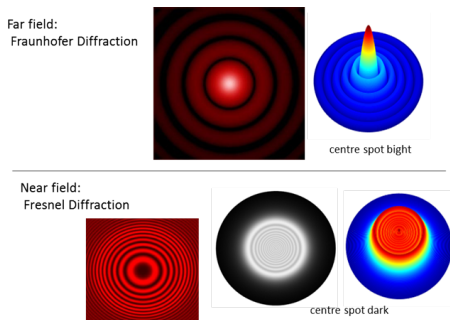


Figura: Caption

- O artigo "*Numerical simulation of Fresnel and Fraunhofer diffractions of monochromatic and white light*" traz os resultados da figura abaixo.

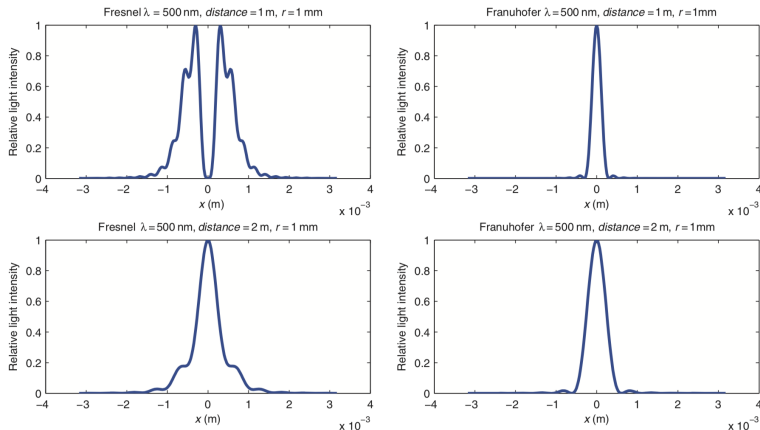


Figura: Na figura acima, vemos que com o aumento da distância ao anteparo, a aproximação de Fraunhofer se torna cada vez melhor.

- Vamos buscar resultados para as seguintes fendas:
 - 1 Fenda circular;
 - 2 Fenda quadrada;
 - 3 Meio plano;
 - 4 Ponto de Arago.
- Para três diferentes números de Fresnel, marcando os dois regimes e a transição.

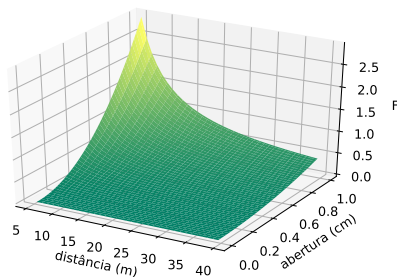


Figura: O gráfico acima mostra a relação entre distância, abertura e número de Fresnel. Nosso objetivo é pegar três pontos desta superfície para cada caso.

Dificuldades previstas

- Embora não precisemos de muita resolução para o padrão no anteparo, o gráfico de $\text{Intensidade} \times x$ será mais difícil de ser obtido.

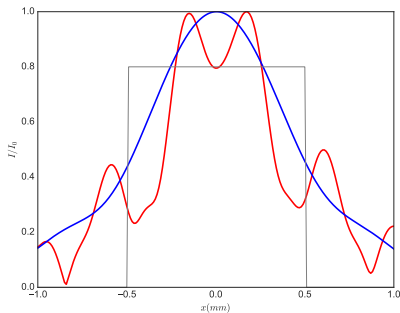


Figura: Código preliminar

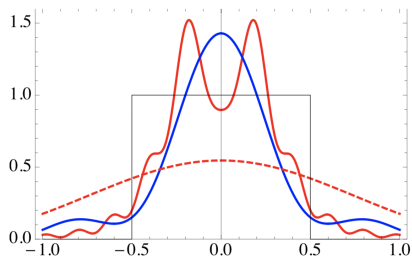


Figura: Artigo

- A resolução deve ser alta e o anteparo grande, sem que o código fique muito lento.